

## Runge-Kutta 系極限公式からの近似公式

千葉大工学部 小野 令美 (Harumi Ono)

### 常微分方程式の初期値問題

$$\frac{dy}{dt} = f(t, y), \quad y(t_0) = y_0 \quad (y, f \text{ はベクトル})$$

の陽的Runge-Kutta系数值解法において、5段と6段で達成し得る次数は高々4次と5次の精度までである。一方1ステップの中で関数計算を行う分点のある二つを近づけると5段で5次に近い精度が得られることが知られ、その極限として厳密に5段で5次と6段で6次の公式が導かれている。これは極限公式と呼ばれる必然的に  $f$  の導関数を含んでいる。この導関数の計算と隣接関数計算だけで同精度を得る方法について先に報告したが、その際頂いたコメントに基き検討し非常に効果的と思われる結果を得たので報告する。

極限公式の微分係数を含む項の計算にはあまり精度が要らないので微分係数を数值微分で近似する。その際極限公式に残されている自由パラメタの一つと最終的な計算結果に含まれる近似誤差が小さくなるようにとり、さらに残る一つの自

由パラメタは公式の局所打切り誤差の最適化に用いる。

数値微分による近似誤差の第1項が0となるように自由パラメタを選ぶと近似誤差は積分の刻み幅 $h$ のとき $\tau$ 進法で計算で $O(h^3 r^{-8/2})$ となるが、5段公式では次の項まで0になる $O(h^4 r^{-8/2})$ となる。自由パラメタをこのように決めて極限公式の打切り誤差は、打切り誤差最適の極限公式のものよりは大きいが、その比は5段公式で約1.2倍、6段公式で約1.5倍程度である。伊理、Rallらにより提案されている自動微分法がまだすべてのシステムで自動化されていない現在、ここで提案する公式は次の点から精度の良い実用的な公式と言えよう。

- 1) 係数が極限公式のものなので簡単である。
- 2) 計算桁数に応じて数値微分に用いる値だけを変えればその計算桁用の公式が得られる。
- 3) 近似誤差は公式の精度に殆ど影響しない。特に5段公式では全く影響せず数値的に5次の精度が達成される。

## 1. 5段公式

### 1.1 5次極限公式

5段陽的Runge-Kutta公式は、 $t_n$ における値 $y_n$ が得られていてるとき $t_n+h$ における値 $y_{n+1}$ を次式で求める：

$$(1.1) \quad \begin{cases} f_1 = f(t_n, y_n) \\ f_i = f(t_n + \alpha_i h, y_n + h \sum_{j=1}^{i-1} \beta_{ij} \alpha_j), \quad i = 2, 3, 4, 5 \\ y_{n+1} = y_n + h \sum_{i=1}^5 \mu_i f_i \end{cases}$$

ここで  $\beta_{ij}, \mu_i, \alpha_i$  はパラメタで、公式に望ましい性質を与えるように定められる。通常は、この Taylor 展開が真の解関数の展開となるべく高次の項まで関数によらず一致するよう定められる。5段公式 (1.1) では  $h^4$  の項までしか一致させることではない。しかし、 $\alpha_5 = 1$  のとき、 $\alpha_2 \rightarrow 0$  の極限で考えると  $h^5$  の項まで一致させることができる。この公式には必然的に  $df/dt$  が含まれる。このようにある分点ニットを近づけた極限で考えた公式を極限公式と呼ぶ。戸田によって導かれた 5段 5次極限公式はニットの自由パラメタを含む次のものである。

$$(1.2) \quad \begin{cases} f_1 = f(t_n, y_n) \\ Df_1 = (\frac{\partial}{\partial t} + f_1 \frac{\partial}{\partial y}) f(t_n, y_n) \\ f_3 = f(t_n + \alpha_3 h, y_n + h(b_{31} f_1 + b_{32} h Df_1)) \\ f_4 = f(t_n + \alpha_4 h, y_n + h(b_{41} f_1 + b_{42} h Df_1 + b_{43} f_3)) \\ f_5 = f(t_n + h, y_n + h(b_{51} f_1 + b_{52} h Df_1 + b_{53} f_3 + b_{54} f_4)) \\ y_{n+1} = y_n + h(m_1 f_1 + m_2 h Df_1 + m_3 f_3 + m_4 f_4 + m_5 f_5) \end{cases}$$

ここでパラメタは、 $\alpha_3, \alpha_4$  をニットの自由パラメタとして次のようく表わされた：

$$\begin{aligned}
 m_2 &= \frac{10\alpha_3\alpha_4 - 5(\alpha_3 + \alpha_4) + 3}{60\alpha_3\alpha_4}, & m_3 &= \frac{5\alpha_4 - 3}{60\alpha_3^2(1-\alpha_3)(\alpha_4 - \alpha_3)}, \\
 m_4 &= \frac{3 - 5\alpha_3}{60\alpha_4^2(1-\alpha_4)(\alpha_4 - \alpha_3)}, & m_5 &= \frac{20\alpha_3\alpha_4 - 15(\alpha_3 + \alpha_4) + 12}{60(1-\alpha_3)(1-\alpha_4)}, \\
 m_1 &= 1 - m_3 - m_4 - m_5 \\
 (1.3) \quad b_{31} &= \alpha_3, \quad b_{32} = \frac{\alpha_3^2}{2}, \\
 b_{43} &= \frac{1}{60\alpha_3^2 m_4 (1-\alpha_4)}, \quad b_{41} = \alpha_4 - b_{43}, \quad b_{42} = \frac{\alpha_4^2}{2} - b_{43}\alpha_3, \\
 b_{54} &= \frac{1}{m_5} \cdot m_4 (1-\alpha_4), \quad b_{53} = \frac{1}{m_5} (m_3 (1-\alpha_3) - m_4 b_{43}), \\
 b_{51} &= 1 - b_{53} - b_{54}, \quad b_{52} = \frac{1}{2} - b_{53}\alpha_3 - b_{54}\alpha_4
 \end{aligned}$$

この極限公式に含まれる微分係数を数値微分で近似する  
 公式をさきに報告したが、そのもとになる極限公式は二つの  
 自由パラメタを公式の打切り誤差からみて最適になるよう  
 選んだものである。これは積分する刻み幅  $\Delta x$  を小さくして  
 いくと公式の打切り誤差より、数値微分の近似誤差の方が優  
 位となる心配があつた。本報告で数値微分の近似誤差が公式  
 全体の誤差に影響する心配のない公式を提案する。それは、  
 極限公式に含まれる自由パラメタを、打切り誤差最適なもの  
 に限定せず、数値微分の近似誤差を小さくする観点から選ぶ  
 ものである。

## 1.2 数値微分による近似誤差

(1.2) の  $hDf_1$  の代りに、小さい正の数  $\varepsilon$  を使って

$$\begin{cases} f_2 = f(t_n + \varepsilon h, y_n + \varepsilon h f_1) \\ \hat{f}_2 = \frac{f_2 - f_1}{\varepsilon} \end{cases}$$

を計算し、 $\hat{f}_2$  を用いる。このとき用いる  $\varepsilon$  の値を最良となるよう次のように決める。

簡単のため  $(\frac{\partial^2}{\partial t^2} + f_1 \frac{\partial^2}{\partial y^2})^k f(t_n, y_n) \approx D^k f_1$  と書くと

$$f_2 = f_1 + \varepsilon h Df_1 + \frac{(\varepsilon h)^2}{2!} D^2 f_1 + \frac{(\varepsilon h)^3}{3!} D^3 f_1 + \dots$$

ここで、 $hDf_1$  と  $\hat{f}_2$  で近似したときの誤差は  $|t|=1$  のとき  
「進法」で計算

$$\text{打ち切り誤差の主要項: } E_T \approx \varepsilon \cdot \frac{h^2}{2} |D^2 f_1|$$

$$\text{丸めの誤差: } E_R \approx 2 r^{-\frac{3}{2}} \left| \frac{f_1}{\varepsilon} \right|$$

で見積もることができる。従って全体の誤差を  $E$  とおくと

$$E = E_T + E_R$$

で、これを最小にする  $\varepsilon$  ときの  $E$  は

$$\varepsilon_{opt} \approx 2 r^{-\frac{3}{2}} h^{-1} \sqrt{|f_1 / D^2 f_1|},$$

$$E_{opt} \approx h \cdot 2 r^{-\frac{3}{2}} \sqrt{|f_1 / D^2 f_1|} + O(h r^{-\frac{3}{2}})$$

である。この  $E_{opt}$  を含む  $\hat{f}_2$  を用いた  $f_3$  を  $\hat{f}_3$  と書くと

$$\hat{f}_3 = f(t_n + \alpha_3 h, y_n + h(b_{31} f_1 + b_{32} \hat{f}_2))$$

$$= f(t_n + \alpha_3 h, y_n + h(b_{31} f_1 + b_{32} h Df_1) + h b_{32} E_{opt})$$

$$\approx f_3 + h b_{32} E_{opt} \cdot f_{y_3} + O(h^4)$$

である。この“ $y_3 = y_n + h(b_{31}f_1 + b_{32}hDf_1)$ ,  $f_{y_3} = \frac{\partial}{\partial y} f(t_n + d_3 h, y_3)$ ”を表す。同様の記号を用いて $\hat{f}_4, \hat{f}_5$ は

$$\hat{f}_4 = f(t_n + d_4 h, y_n + h(b_{41}f_1 + b_{42}\hat{f}_2 + b_{43}\hat{f}_3))$$

$$= f_4 + h b_{42} E_{opt} f_{y_4} + h^2 b_{43} b_{32} E_{opt} f_{y_3} \cdot f_{y_4} + O(h^4)$$

$$\hat{f}_5 = f(t_n + h, y_n + h(b_{51}f_1 + b_{52}\hat{f}_2 + b_{53}\hat{f}_3 + b_{54}\hat{f}_4))$$

$$= f_5 + h b_{52} E_{opt} f_{y_5} + h^2 (b_{53} b_{32} f_{y_3} + b_{54} b_{42} f_{y_4}) E_{opt} f_{y_5} + O(h^4)$$

左の“ $\hat{y}_{n+1}$ ”、最終的な $\hat{y}_{n+1}$ は

$$\hat{y}_{n+1} = y_n + h(m_1 f_1 + m_2 \hat{f}_2 + m_3 \hat{f}_3 + m_4 \hat{f}_4 + m_5 \hat{f}_5)$$

$$= y_{n+1} + h m_2 E_{opt}$$

$$+ h^2 (m_3 b_{32} f_{y_3} + m_4 b_{42} f_{y_4} + m_5 b_{52} f_{y_5}) E_{opt}$$

$$+ h^3 (m_4 b_{43} b_{32} f_{y_3} f_{y_4} + m_5 (b_{53} b_{32} f_{y_3} + b_{54} b_{42} f_{y_4})) E_{opt} + O(h^5)$$

となる。 $f_{y_3}, f_{y_4}, f_{y_5}$ は異なった値であるが、近い値と考えられることで“ $\hat{y}_n$ ”と $f_y$ とおいて

$$\hat{y}_{n+1} = y_n + h m_2 E_{opt}$$

$$(1.4) \quad + h^2 (m_3 b_{32} + m_4 b_{42} + m_5 b_{52}) f_y \cdot E_{opt}$$

$$+ h^3 ((m_4 b_{43} + m_5 b_{53}) b_{32} + m_5 b_{54} b_{42}) f_y^2 \cdot E_{opt} + O(h^5)$$

と書ける。

打ち切り誤差が最適となるように自由パラメタを選んで極限公式では $m_2 \neq 0$ なので、 $\hat{y}_{n+1}$ の近似誤差の主要項は $h m_2 E_{opt} = O(h^2 r^{-\frac{3}{2}})$ であるが、 $m_2 = 0$ となるように自由パラ

メタを置けば、近似誤差は  $O(h^3 r^{-\frac{3}{2}})$  となることがわかる。

(1.4) の  $h^2$ ,  $h^3$  の項のパラメタの式の部分に、極限公式の係数の関係式 (1.3) を代入して整頓すると

$$\begin{aligned} h^2 \text{ の項: } C_2 &= m_3 b_{32} + m_4 b_{42} + m_5 b_{52} \\ &= \frac{3}{2}(m_3 \alpha_3^2 + m_4 \alpha_4^2 + m_5) - (m_3 \alpha_3 + m_4 \alpha_4 + m_5) \end{aligned}$$

$$\begin{aligned} h^3 \text{ の項: } C_3 &= m_4 b_{43} b_{32} + m_5 (b_{53} b_{32} + b_{54} b_{42}) \\ &= \frac{1}{2}(m_3 \alpha_3^2 + m_4 \alpha_4^2 + m_5) - \frac{1}{2}(m_3 \alpha_3^3 + m_4 \alpha_4^3 + m_5) - \frac{1}{60 \alpha_3} \end{aligned}$$

となる。ところが、公式が満たなければならぬ条件式

$$O(h^2) \text{ の項の係数: } m_2 + m_3 \alpha_3 + m_4 \alpha_4 + m_5 = \frac{1}{2}$$

$$O(h^3) \text{ の項の係数の一つ: } m_2 \alpha_2 + m_3 \alpha_3^2 + m_4 \alpha_4^2 + m_5 = \frac{1}{3}$$

$$O(h^4) \text{ の項の係数の一つ: } m_2 \alpha_2^2 + m_3 \alpha_3^3 + m_4 \alpha_4^3 + m_5 = \frac{1}{4}$$

から、 $m_2 = 0$  のときには

$$C_2 = \frac{3}{2} \cdot \frac{1}{3} - \frac{1}{2} = 0, \quad C_3 = \frac{1}{2} \cdot \frac{1}{3} - \frac{1}{2} \cdot \frac{1}{4} - \frac{1}{60 \alpha_3} = \frac{5 \alpha_3 - 2}{120 \alpha_3}$$

となる。 $h^2$  の係数も無条件で 0 になる。 $C_3$  は  $m_2 = 0$  の条件  $10 \alpha_3 \alpha_4 - 5(\alpha_3 + \alpha_4) + 3 = 0$  から 0 にできないので ( $\alpha_3 = 2/5$  に  $\pm$   $\alpha_4 = 1$  に  $\mp 3$ )、残る一つの自由パラメタは打ち誤差から最適となるように置ぶことにす。 $m_2 = 0$  の極限公式のうちで最良のものは  $\alpha_3 = (5 - \sqrt{5})/10$ ,  $\alpha_4 = (5 + \sqrt{5})/10$  と与えられているのでこれに決める。

$\varepsilon_{opt}$  の大きさは次のように決める。 $f_1, Df_1$  の大きさは関数によつて異るが、一般に関数の性質の良いときはまるめ

の誤差が大きくなるので  $\varepsilon$  は大きめの方が良く、関数の性質の悪いものは数值微分の打ち切り誤差が大きいので  $\varepsilon$  は小さい方が良い。公式の打ち切り誤差は関数の性質が良いものは小さいので、性質の良いときに数值微分の誤差が優位となることがないように  $\varepsilon$  は大きめに決める。経験的に  $\sqrt{|f_1 \cdot Df_1|}$  を 4 として

$$\varepsilon = 8 \cdot r^{-\frac{3}{2}} h^{-1}$$

に決める。ただし、 $|t| > r$  のときは  $t$  との相対的な大きさにして  $\varepsilon' = t\varepsilon$  にする。

### 1.3 5段近似5次公式

5段で数値的に5次といえる公式は次のものでこれを5段近似5次公式 [N5] と名づける。

$$\begin{aligned}
 f_1 &= f(t_n, y_n) \\
 f_2 &= f(t_n + \varepsilon h, y_n + \varepsilon h f_1) \quad F_2 = \frac{f_2 - f_1}{\varepsilon} \\
 f_3 &= f(t_n + \frac{5-\sqrt{5}}{10}h, y_n + h(\frac{5-\sqrt{5}}{10}f_1 + \frac{3-\sqrt{5}}{20}F_2)) \\
 f_4 &= f(t_n + \frac{5+\sqrt{5}}{10}h, y_n + h(\frac{-5-3\sqrt{5}}{10}f_1 + \frac{-3-\sqrt{5}}{20}F_2 + \frac{5+2\sqrt{5}}{5}f_3)) \\
 f_5 &= f(t_n + h, y_n + h((1+2\sqrt{5})f_1 + \frac{\sqrt{5}}{2}F_2 + \frac{-5-3\sqrt{5}}{2}f_3 + \frac{5-\sqrt{5}}{2}f_4)) \\
 y_{n+1} &= y_n + h(\frac{1}{12}f_1 + \frac{5}{12}f_3 + \frac{5}{12}f_4 + \frac{1}{12}f_5)
 \end{aligned}$$

ただし、 $\varepsilon$  は右進法手計算で次の値とする。

$$\varepsilon = 8 \cdot r^{-\frac{3}{2}} h^{-1} \quad (|t| > r のときは \varepsilon' = t \cdot 8r^{-\frac{3}{2}} h^{-1})$$

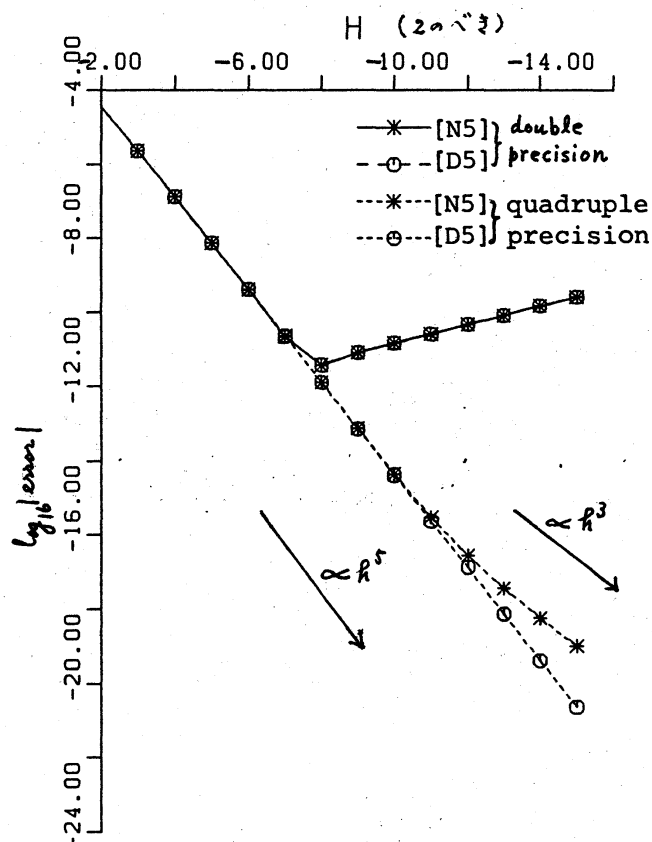
## 1.4 数値例

$$\frac{dy}{dt} = \frac{e^t(y^3(t+1)+1)}{3y^2(6-te^t)}, \quad y(0)=1$$

を  $t=0$  から 1 まで刻み幅  $h$  を変えて積分したときの  $t=1$  における誤差を図 1 に示す。計算は FACOM M340S で 16 進 15 切捨て方式の倍精度 (14桁) で行なった。さらに数値微分による近似誤差を見るために、倍精度用の  $\epsilon$  を用いた 4 倍精度計算を行なった。図から

も近似公式 [N5] の数値微分による近似誤差の累積は  $h^3$  に比例し、これが公式の打ち切り誤差より優位となるのは 4 倍精度計算の範囲に入つてからである。倍精度の範囲では精確に 5 次である。

極限公式と数値的に同精度が達成されていることがわかる。



$$\text{図 } 1 \quad \frac{dy}{dt} = \frac{e^t(y^3(t+1)+1)}{3y^2(6-te^t)}, \quad y(0)=1$$

$\rightarrow t=1$  における誤差

[D5] …… [N5] のもとにあっていう極限公式

## 2. 6段公式

2.1 6次極限公式

6段公式では、 $\alpha_6=1$  のとき  $\alpha_2 \rightarrow 0$ かつ  $\alpha_5 \rightarrow 1$ の場合に極限で6次の公式が得られ、5段の場合と同じく二つの自由なパラメータが残る。公式は次のように書ける：

$$\begin{aligned}
 f_1 &= f(t_n, y_n) \\
 Df_1 &= (\frac{\partial}{\partial t} + f_1 \frac{\partial}{\partial y}) f(t_n, y_n) \\
 f_3 &= f(t_n + \alpha_3 h, y_n + h(b_{31}f_1 + b_{32}hDf_1)) \\
 f_4 &= f(t_n + \alpha_4 h, y_n + h(b_{41}f_1 + b_{42}hDf_1 + b_{43}f_3)) \\
 y_p &= y_n + h(b_{61}f_1 + b_{62}hDf_1 + b_{63}f_3 + b_{64}f_4) \\
 f_6 &= f(t_n + h, y_p) \\
 \tilde{f} &= b_{561}f_1 + b_{562}hDf_1 + b_{563}f_3 + b_{564}f_4 + b_{565}f_6 \\
 Df_5 &= (\frac{\partial}{\partial t} + \tilde{f} \frac{\partial}{\partial y}) f(t_n + h, y_p) \\
 y_{n+1} &= y_n + h(m_1f_1 + m_2hDf_1 + m_3f_3 + m_4f_4 + m_5hDf_5 + m_6f_6)
 \end{aligned}
 \tag{2.1}$$

ここでパラメタ  $b_{ij}$ ,  $b_{56j}$ ,  $m_i$  は自由パラメタ  $\alpha_3$  と  $\alpha_4$  の有理式で表わされる。

2.2 近似公式の誤差

5段公式と同様に  $hDf_1$  と  $hDf_5$  の代りにそれぞれ

$$f_2 = f(t_n + \varepsilon h, y_n + \varepsilon h f_1), \quad \hat{F}_2 = \frac{f_2 - f_1}{\varepsilon}$$

$$\hat{F}_5 = f(t_n + h - \delta h, y_p - \delta h \tilde{f}), \quad \hat{F}_5 = \frac{\hat{f}_6 - \hat{f}_5}{\delta}$$

を計算して  $\hat{F}_2$  と  $\hat{F}_5$  を用いる。ここで  $\tilde{f}$  は (2.1) における  $\tilde{f}$

の左辺の  $hDf_1, f_3, f_4, f_6$  をそれぞれ  $\hat{f}_2, \hat{f}_3, \hat{f}_4, \hat{f}_6$  でおきかえ  $r = h$  のを表わす。  $\hat{f}_3, \hat{f}_4$  の近似誤差は 5 段の場合と同じで、 $\hat{f}_6$  は次のようにならうに見積られる。

$$\begin{aligned}\hat{y}_p &= y_n + h(b_{61}f_1 + b_{62}\hat{f}_2 + b_{63}\hat{f}_3 + b_{64}\hat{f}_4) \\ &= y_p + h b_{62} E_{opt} + h^2(b_{63}b_{32}f_{y_3} + b_{64}b_{42}f_{y_4}) E_{opt} + O(h^4)\end{aligned}$$

$$\begin{aligned}\hat{f}_6 &= f_6 + h b_{62} E_{opt} \cdot f_{y_p} + h^2(b_{63}b_{32}f_{y_3} + b_{64}b_{42}f_{y_4}) E_{opt} \cdot f_{y_p} + O(h^4) \\ &\doteq f_6 + h b_{62} E_{opt} \cdot f_y + h^2(b_{63}b_{32} + b_{64}b_{42}) E_{opt} \cdot f_y^2 + O(h^4)\end{aligned}$$

数値微分  $\hat{f}_5 = (\hat{f}_6 - \hat{f}_5)/\delta$  に用ひる最適な  $\delta \in \delta_{opt}$ ,  $\xi$  の時の  $\hat{f}_5$  の誤差を  $\Delta_{opt}$  と書く。

$$\delta_{opt} = 2r^{-\frac{1}{2}}h^{-1}\sqrt{|f_6 \cdot D^2f_6|}, \quad \Delta_{opt} = -h \cdot 2r^{-\frac{3}{2}}\sqrt{|f_6 \cdot D^2f_6|}$$

である。これは用ひる  $\varepsilon$ ,

$$\begin{aligned}\hat{f}_5 &= \frac{\hat{f}_6 - \hat{f}_5}{\delta_{opt}} \doteq \bar{f}_5 + \Delta_{opt} + h b_{562} E_{opt} \cdot f_y \\ &\quad + h^2(b_{563}b_{32} + b_{564}b_{42} + b_{565}b_{62}) E_{opt} \cdot f_y^2 \\ &\quad + O(h^4)\end{aligned}$$

従つて最終的に  $\hat{y}_{n+1}$  は

$$\begin{aligned}\hat{y}_{n+1} &= y_n + h(m_1f_1 + m_2\hat{f}_2 + m_3\hat{f}_3 + m_4\hat{f}_4 + m_5\hat{f}_5 + m_6\hat{f}_6) \\ &= y_{n+1} + h(m_2 E_{opt} + m_5 \Delta_{opt}) \\ &\quad + h^2(m_3b_{32} + m_4b_{42} + m_5b_{562} + m_6b_{62}) E_{opt} f_y + O(h^4)\end{aligned}$$

となる。 $|f_i \cdot Df_i|$  と  $|f_6 \cdot D^2f_6|$  は異なが近い値と考えると  $h$  と  $h^2$  の項の部分の  $\times$  の部分は

$$h \text{ の項} : d_1 = m_2 - m_5$$

$$h^2 \text{ の項} : d_2 = m_3 b_{32} + m_4 b_{42} + m_5 b_{52} + m_6 b_{62}$$

で、この  $d_2$  に極限公式のパラメタの間に下りて関係式を代入してせいいとんすると  $m_2$  になる。そして  $m_2 = m_5 = 0$  とするとようにできれば、近似誤差は  $E_{opt} = O(h)$  なので、 $O(h^4)$  とすることができるが、それはできまい。なぜなら  $m_3$  の分子の因数は  $b_{ij}$  の今母の因数によっていろいろからである。

そして、 $m_2 - m_5 = 0$  を満たす  $d_3, d_4$  の組で公式の局所打ち切り誤差をできる限り小さくするものを選ぶことにす。6次極限公式の  $O(h^7)$  の誤差項の係数は次の5種類に分類される：

$$K = \frac{1}{5040} \text{ の倍数} \quad 10 \text{ 項}$$

$$\xi = \frac{14d_3d_4 - 7(d_3+d_4) + 4}{302400} \text{ の倍数} \quad 13 \text{ 項}$$

$$\eta = \frac{7d_4 - 4}{15120} \text{ の倍数} \quad 12 \text{ 項}$$

$$\zeta = \frac{7d_3 - 3}{15120} \text{ の倍数} \quad 10 \text{ 項}$$

$$\omega = \frac{1}{30240(1-2d_3)(5d_3d_4-3(d_3+d_4)+2)^2} \\ \times \left[ (305d_4^2-296d_4+72)d_3^3 + (175d_4^3-466d_4^2+340d_4-76)d_3^2 \right. \\ \left. + (-210d_4^3+395d_4^2-248d_4+52)d_3 + 63d_4^3-120d_4^2+76d_4-16 \right] \text{ の倍数} \quad 3 \text{ 項}$$

図2に  $m_2, m_5, m_2 - m_5, \xi, \eta, \zeta, \omega$  を0とおいた曲線を示す。最適な  $d_3, d_4$  は  $0 < d_3 < \frac{5-\sqrt{5}}{10}$  の範囲の  $m_2 - m_5 = 0$  の線上にあると考えられるので、この線上に添って  $O(h^7)$  の誤差項の係数の

二つの尺度(=乗和の平均の平方根と、絶対値最大なもの)

による変化のようすを調べると図3のようになり最適な  $\alpha_3$  は  
 $0.15 \sim 0.2$  附近とわかる。

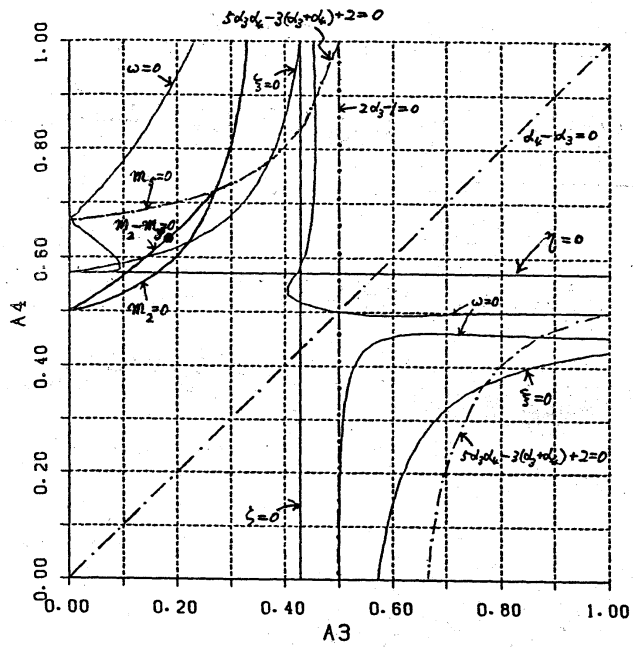


図2  $m_2, m_5, m_2 - m_5, \zeta, \gamma, \delta, \omega$  を 0 とおいたとき  
 曲線  $\bullet \cdot EP \cdots \left(\frac{5-\sqrt{10}}{10}, \frac{\sqrt{10}}{5}\right)$

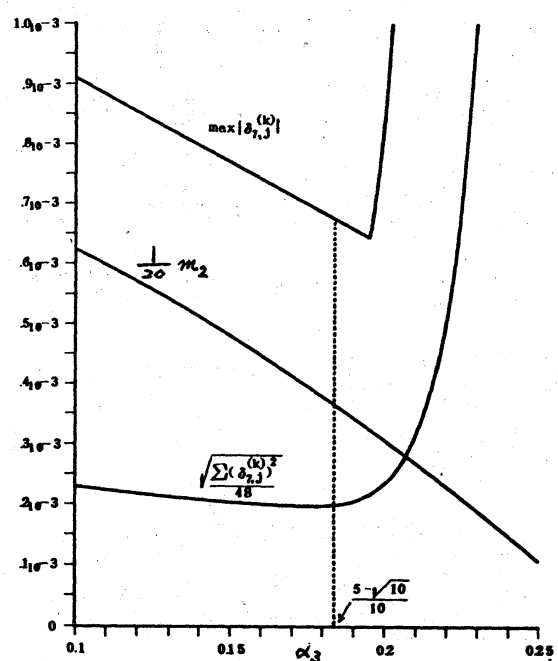


図3  $O(f'')$  の誤差項の係数の  $\alpha_3$  に対する  
 変化のようす

$$m_2 - m_5 = \frac{(10d_3^2 - 10d_3 + 2)d_4^2 - (10d_3^2 - 12d_3 + 3)d_4 + 2d_3^2 - 3d_3 + 1}{60d_3d_4(1-d_3)(1-d_4)}$$

から、  $\gamma, \delta, \omega$  が 2 次体の整数に 3 ような組を求めると、

$$0.15 < \alpha_3 < 0.2 \text{ の範囲では } \alpha_3 = \frac{5-\sqrt{10}}{10}, d_4 = \frac{\sqrt{10}}{5} \text{ となる。}$$

### 2.3 6段近似 6次公式

6段で数値的に6次といえる公式は次のものでこれを  
 [N6] と名づける。

$$f_1 = f(t_n, y_n)$$

$$f_2 = f(t_n + \varepsilon h, y_n + \varepsilon h f_1), \quad F_2 = \frac{f_2 - f_1}{\varepsilon}$$

$$f_3 = f(t_n + \frac{5-\sqrt{10}}{10}h, y_n + h(\frac{5-\sqrt{10}}{10}f_1 + \frac{7-2\sqrt{10}}{40}F_2))$$

$$f_4 = f(t_n + \frac{\sqrt{10}}{5}h, y_n + h(\frac{-220-23\sqrt{10}}{135}f_1 + \frac{-11-\sqrt{10}}{45}F_2 + \frac{2(22+5\sqrt{10})}{27}f_3))$$

$$y_p = y_n + h(\frac{1064+313\sqrt{10}}{54}f_1 + \frac{55+14\sqrt{10}}{18}F_2 + \frac{-8(905+283\sqrt{10})}{351}f_3 + \frac{50+17\sqrt{10}}{26}f_4)$$

[N6]

$$f_6 = f(t_n + h, y_p)$$

$$\begin{aligned} f_5 &= f(t_n + (1-\varepsilon)h, y_p - \varepsilon h(\frac{2(1599+503\sqrt{10})}{9}f_1 + \frac{2(232+73\sqrt{10})}{9}F_2 \\ &\quad + \frac{-4(11265+3574\sqrt{10})}{117}f_3 + \frac{2(620+203\sqrt{10})}{39}f_4 \\ &\quad - f_6)) \end{aligned}$$

$$F_5 = \frac{f_6 - f_5}{\varepsilon}$$

$$\begin{aligned} y_{n+1} &= y_n + h(\frac{100-37\sqrt{10}}{540}f_1 + \frac{5-2\sqrt{10}}{180}F_2 + \frac{40(7-\sqrt{10})}{351}f_3 \\ &\quad + \frac{5(62+19\sqrt{10})}{1404}f_4 + \frac{5-2\sqrt{10}}{180}F_5 + \frac{-55+31\sqrt{10}}{270}f_6) \end{aligned}$$

ここで、 $\varepsilon$ は5段公式と同様に「進法」で計算のとき

$$\varepsilon = 8 \cdot r^{-\frac{9}{2}} h^{-1} \quad (|t| > r のときは \varepsilon' = t \cdot \varepsilon)$$

にする。

## 2.4 数値例

5段公式と同じ例

$$\frac{dy}{dt} = \frac{e^t(y^3(t+1)+1)}{3y^2(6-te^t)}, \quad y(0) = 1$$

を [N6] を用いて 5段公式と同じ方法で実行した結果を図 4 に

示す。図からも倍精度計算の範囲では極限公式とほぼ同精度が達成されていることがわかる。

### 3.まとめ

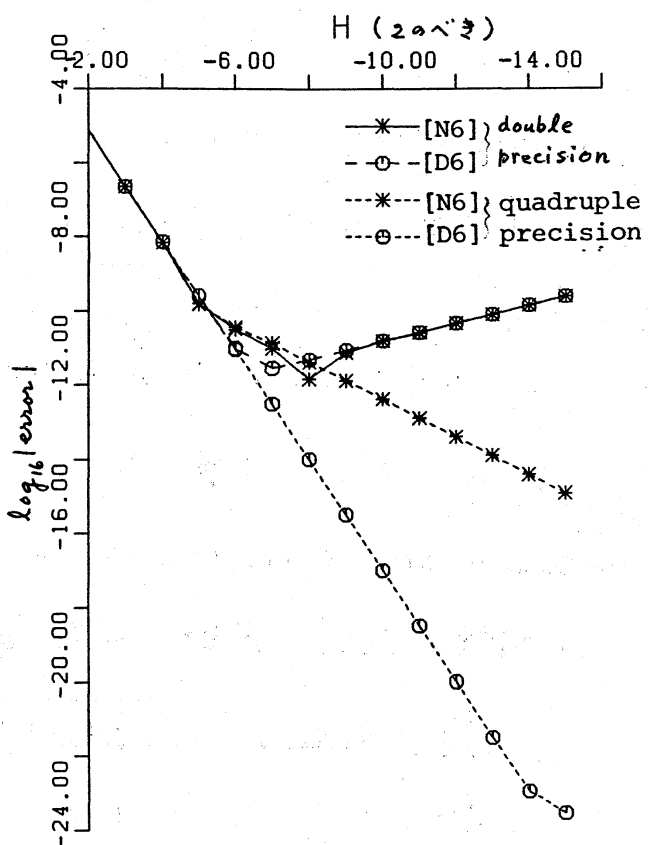
#### 3.1 公式の評価

ここで提案した5段

公式 [N5] と6段公式

[N6] について、公式の  
打切り誤差と数値微分の  
近似誤差をまとめると

表1のように 3. 打切り誤差の尺度は誤差項の  
係数の二乗和の平均の平  
方根である。



$$\text{図4} \quad \frac{dy}{dt} = \frac{e^t(y^3(t+1)+1)}{3y^2(6-te^t)}, \quad y(0)=1$$

の  $t=1$  における誤差。[D6] は [N6] のもとにあって  
いい3種限公式

表1 公式の打切り誤差と数値微分の近似誤差

	打切り誤差	近似誤差
5段公式 [N5]	$.765_{10}-3 h^6$	$k_5 \cdot r^{-\frac{8}{2}} h^4 \quad (k_5 \div -.37_{10}-1 \cdot \sqrt{1f \cdot D^2 h})$
6段公式 [N6]	$.897_{10}-3 h^6$	$k_6 \cdot r^{-\frac{8}{2}} h^3 \quad (k_6 \div -.15_{10}-1 \cdot \sqrt{1f \cdot D^2 h})$

[N5] では公式の打ち切り誤差  $O(h^6)$  に対して数値微分の近似誤差が  $O(r^{-\frac{3}{2}}h^4)$  であるのに対して、[N6] では打ち切り誤差が  $h^4$  だけ良くよっていふのに近似誤差は  $h^4$  だけ悪くなつていふので近似誤差の影響が少し出てくる心配がある。従つて、結論としては 5 段近似公式 [N5] がパラメタも簡単で推奨できる公式といえど。

### 3.2 他の公式との比較

Bulirsch, Stoer (1966) にとり上げられ Hairer (1978) で比較されていふ問題、Euler の運動方程式

$$\begin{aligned}\frac{dy_1}{dt} &= y_2 y_3, & y_1(0) &= 0 \\ \frac{dy_2}{dt} &= -y_1 y_3, & y_2(0) &= 1 \\ \frac{dy_3}{dt} &= -k^2 y_1 y_2, & y_3(0) &= 1, \quad k^2 = 0.51\end{aligned}$$

の実行結果を表 2 に示す。

表 2 Euler の運動方程式の計算結果

公式	刻み幅	$x=60$ における最大誤差	関数計算の回数
古典的 Runge-Kutta	.0078125	$1.7_{,10}-9$	30720
5 段近似 5 次公式 [N5]	.015625	$5.9_{,10}-10$	19200

また Wainer の結果は次の通りである。

公式	刻み幅	$x=60$ における最大誤差	関数計算の回数
古典的Runge-Kutta	.005	$2.8 \times 10^{-10}$	48000
Adams-Moulton-Basforth (6段階法)	.01	$7.1 \times 10^{-9}$	12000
Bulirsch, Stoer 多項式補外		$1.2 \times 10^{-9}$	5276
Curtis 18段 10次	.25	$1.3 \times 10^{-10}$	4320
Wainer 17段 10次	.25	$8.4 \times 10^{-11}$	4080

これらの結果を、精度と関数計算の回数の関係から図示すると図5のようになる。図中の6段実質公式[H62]とは文献[4]のものである。図からも[N5]は手間の面でかならず効率が良いことがわかる。

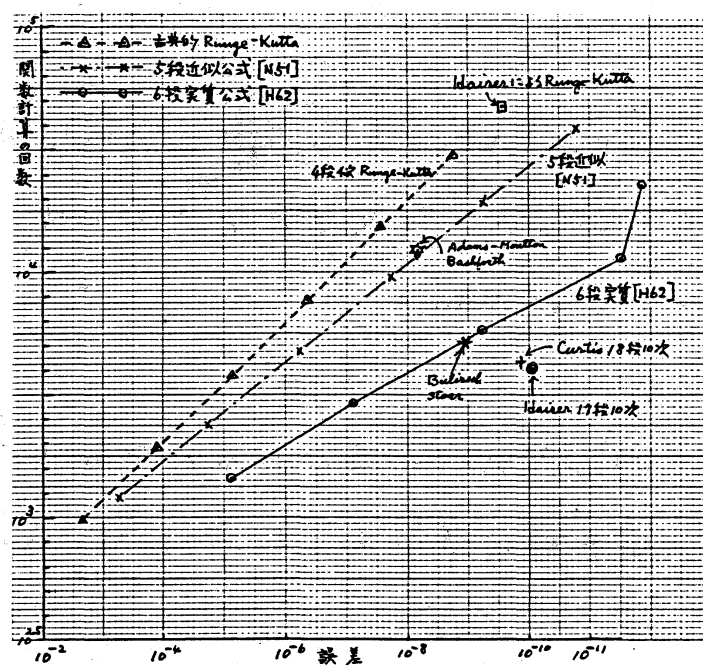


図5 各種公式による結果 (精度と関数計算回数)

## 参考文献

- [1] Bulirsch, R. and Stoer, J.: Numerical Treatment of Ordinary Differential Equations by Extrapolation Methods, *Numer. Math.*, 8, pp.1-13 (1966).
- [2] Hairer, E.: A Runge-Kutta Method of Order 10, *J. Inst. Maths Applies.*, 21, pp.47-59 (1978).
- [3] 小野令美, 戸田英雄: Runge-Kutta 5段5次型と6段6次型の実用公式, 情報処理学会論文誌 Vol.26, No.2, pp.228-238(1985).
- [4] 小野令美: Runge-Kutta 系の6段6次極限公式及び6段で数値的に6次の公式, 情報処理学会論文誌 Vol.27, No.10, pp.936-944(1986).
- [5] 戸田英雄: Runge-Kutta 系のある極限公式の打ち切り誤差について, 情報処理学会論文誌 Vol.21, No.4, pp.285-296(1980).